

# Decentralization in Bitcoin Networks and a comparison to Ethereum Networks

توسط فرزین میرزائی بادیزی  
99442299

**خلاصه.** ارزهای رمزی پایه مبتنی بر بلاک چین نشان داده‌اند که چگونه می‌توان سیستم‌های متمرکز سنتی مانند ارزها را به شکلی غیرمتمرکز به‌طور ایمن پیاده‌سازی کرد. با این حال، مطالعات اندازه‌گیری کمی در مورد سطح عدم تمرکز آنها در عمل انجام شده است. ما یک مطالعه اندازه‌گیری در مورد معیارهای مختلف عدم تمرکز دو ارز دیجیتال پیشرو با بزرگترین سرمایه بازار و پایگاه کاربر، بیت کوین و اتریوم ارائه می‌کنیم. ما میزان تمرکززدایی را با اندازه‌گیری منابع شبکه گره‌ها و اتصال بین آنها، الزامات پروتکل مؤثر بر عملکرد گره‌ها و استحکام دو سیستم در برابر حملات بررسی می‌کنیم. به طور خاص، ما تکنیک‌های اندازه‌گیری اینترنتی موجود را تطبیق دادیم و از شبکه رله فالكون به عنوان ابزار اندازه‌گیری جدید برای به دست آوردن داده‌هایمان استفاده کردیم. ما متوجه شدیم که نه بیت کوین و نه اتریوم خواص بهتری نسبت به دیگری ندارند. ما همچنین پیشنهادهای ملموسی برای بهبود هر دو سیستم ارائه می‌دهیم.

## 1 مقدمه

تمرکززدایی یک ویژگی مربوط به تقسیم کنترل بر پروتکل است. در پروتکل‌های بیت‌کوین و اتریوم، کاربران تراکنش‌ها را برای ماینرها ارسال می‌کنند تا آن‌ها را در بلاک‌ها قرار دهند. تمرکززدایی بهتر ماینرها به معنای مقاومت بالاتر در برابر سانسور تراکنش‌های فردی است. برای ارتباط، بیت‌کوین و اتریوم همچنین دارای یک شبکه هم‌تا به هم‌تا برای انتشار بلاک‌ها و اطلاعات تراکنش هستند. هم بیت‌کوین و هم اتریوم دارای گره‌های کامل هستند که دو نقش مهم را ایفا می‌کنند: (1) انتقال بلوک‌ها و تراکنش‌ها به ماینرها (2) و پاسخگویی به سؤالات کاربران نهایی در مورد وضعیت بلاک چین. درک ویژگی‌های شبکه گره‌های کامل برای طراحی پروتکل و تجزیه و تحلیل انعطاف‌پذیری هر شبکه در برابر حملات بسیار مهم است. تحقیقات در حال انجام راه‌هایی را برای غیرمتمرکز کردن شبکه‌های بیت‌کوین و اتریوم بدون اندازه‌گیری در شبکه زیربنایی بررسی می‌کند. از این رو، بحث‌ها و تصمیم‌گیری‌ها در مورد شبکه‌های زیربنایی اغلب بر اساس فرضیات است تا اندازه‌گیری.

در این مقاله، ما یک مطالعه اندازه‌گیری جامع در مورد معیارهای عدم تمرکز در این سیستم‌های عملیاتی ارائه می‌کنیم و روشن می‌کنیم که آیا مفروضات موجود در عمل برآورده می‌شوند یا خیر. ما تکنیک‌های اندازه‌گیری اینترنتی قبلی را برای بیت‌کوین و اتریوم تطبیق می‌دهیم و از رویکردهای جدید برای به دست آوردن داده‌های لایه برنامه استفاده می‌کنیم. منابع اصلی داده ما عبارتند از (1) اندازه‌گیری مستقیم این شبکه‌ها از چندین نقطه نظر، (2) یک شبکه رله

بیت کوین به نام Falcon که ما آن را به مدت یک سال استقرار و اجرا کردیم، و (3) تاریخچه بلاک چین بیت کوین و اتریوم. مطالعه ما یافته‌هایی را در مورد ویژگی‌های شبکه، تأثیر الزامات پروتکل، امنیت و تعاملات مشتری ارائه می‌کند. این مقاله سه موضوع را در بر گرفته. اول، ابزارها و تکنیک‌های جدیدی برای اندازه‌گیری شبکه‌های ارز دیجیتال مبتنی بر بلاک چین ارائه می‌کند. ابزار کلیدی معرفی شده در اینجا شبکه رله فالکون است که ما ساختیم تا به عنوان ستون فقرات برای حمل بلوک‌ها عمل کند. این شبکه برای بیت کوین در پنج قاره مستقر شد و یک نقطه برتری منحصر به فرد را در بلوک‌های هرس شده ایجاد کرد. دوم، ما یک مطالعه مقایسه‌ای از معیارهای عدم تمرکز در بیت کوین و اتریوم انجام می‌دهیم. یافته‌های کلیدی ما عبارتند از: (1) شبکه بیت‌کوین می‌تواند پهنای باند مورد نیاز برای گره‌ها را تا ضریب 1.7 افزایش دهد و همان سطح عدم تمرکز را در سال 2016 حفظ کند، (2) شبکه بیت‌کوین از نظر جغرافیایی خوشه‌تر از اتریوم است و گره‌های بسیاری دارد. احتمالاً در دیتاسنترها ساکن هستند. (3) اتریوم نسبت به بیت کوین از قدرت استخراج کمتری برخوردار است و از شبکه رله سود می‌برد، و (4) ماینرهای کوچک نوسانات بیشتری را در پاداش‌های بلاک در بیت کوین نسبت به اتریوم تجربه می‌کنند.

## 2.1 پروتکل بیت کوین

بیت‌کوین پروتکلی است که تراکنش‌ها را به گروه‌هایی به نام بلوک‌ها ترتیب می‌دهد. این پروتکل فاصله تولید بلوک 10 دقیقه با حداکثر اندازه 1 مگابایت را هدف قرار می‌دهد. در زمان اندازه‌گیری‌های ما، 100 بلوک آخر دارای اندازه بلوک متوسط 0.99 مگابایت و میانگین فاصله زمانی 9.8 دقیقه بودند. پروتکل وایر (Wire) یک شبکه هم‌تا به هم‌تا را بر اساس بلوک سیلابی و اعلامیه‌های تراکنش پیاده‌سازی می‌کند.

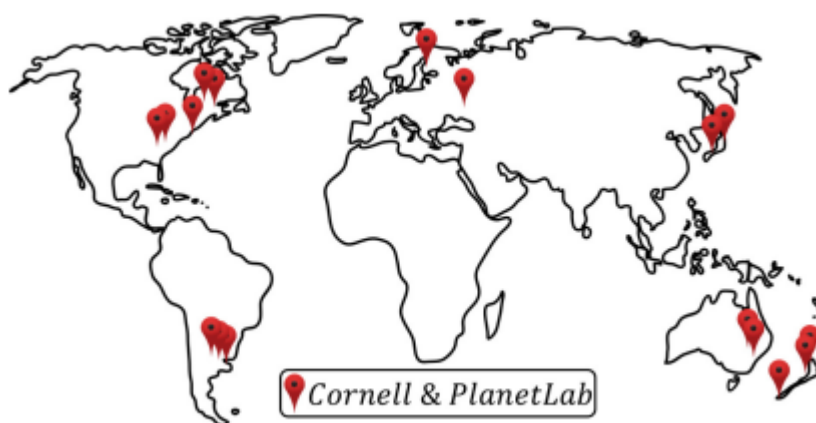
شبکه هم‌تا به هم‌تا از طریق پیوندهای نقطه به نقطه شکل می‌گیرد. برای ایجاد یک پیوند، کلاینت‌ها یک اتصال TCP ایجاد می‌کنند و یک دست دادن سه طرفه در سطح پروتکل انجام می‌دهند. دست دادن در سطح پروتکل وضعیت هر مشتری، مانند ارتفاع بلاک چین و یک رشته نسخه مرتبط با نرم افزار در حال اجرا را مبادله می‌کند. هنگامی که یک کلاینت یک بلوک جدید را کشف یا دریافت می‌کند، شبکه را با هش بلوک پر می‌کند. اگر یک کلاینت همسایه به بلوک نیاز داشته باشد، بلاک را بر اساس مقدار هش درخواست می‌کند. فرمت‌های بلوک مختلفی مانند بلوک‌های فشرده [17] و مرکل [44] وجود دارد، اما ما روی بازیابی بلوک‌های کامل تمرکز می‌کنیم.

## 2.2 پروتکل اتریوم

پروتکل اتریوم [28] بر ارائه پلتفرمی برای تسهیل ساخت برنامه‌های غیرمتمرکز روی بلاک چین تمرکز دارد. برای توالی تراکنش‌ها، اتریوم طرحی الهام گرفته از اجماع ناکاموتو و پروتکل GHOST را اتخاذ می‌کند [64]. اتریوم از یک قانون انتخاب زنجیره‌ای استفاده می‌کند تا از قدرت استخراج باقی مانده در بلوک‌های هرس شده برای بهبود امنیت استفاده کند. این پروتکل شامل بلوک‌هایی به نام uncles در

بلاکچین خود می شود و به ماینرهای مربوطه پاداش می دهد [70]. اتریوم فاصله بلوکی بین 10 تا 20 ثانیه را هدف قرار می دهد [41]. اندازه بلوک به طور غیرمستقیم توسط هزینه اجرا به نام گاز تعیین می شود که در طول زمان در نوسان است. در زمان اندازه گیری های ما، 100 بلوک آخر با اندازه بلوک میانه 2.9 کیلوبایت و فاصله متوسط 16.3 ثانیه تولید شد. در اتریوم، مشتریان با هش بلاک مربوطه درخواست بلاک می کنند. مشتریان قدیمی بلوک هایی را درخواست می کنند که از یک بدنه و هدر تشکیل شده است، در حالی که مشتریان جدیدتر هر قطعه را جداگانه درخواست می کنند. سیستم اندازه گیری در این مقاله بر بازیابی بلوک های کامل و بدنه های بلوک تمرکز دارد.

**نمودار 1.** زیرساخت اندازه گیری بر روی 18 گره توزیع شده در سطح جهانی ساخته شده است.



### 3 زیرساخت سیستم اندازه گیری

ارزهای رمزپایه مبتنی بر بلاک چین در شبکه های همتا به همتا جهانی که دامنه های مدیریتی متعددی را در بر می گیرند، کار می کنند. اندازه گیری چنین شبکه هایی به کاوش در رابطه بین همتایان، قابلیت های همتاها و ویژگی های سیستم به عنوان یک کل مربوط می شود. امنیت و انصاف آن برای توصیف بیت کوین و اتریوم، سیستم اندازه گیری بلاک چین (BMS) را به کار بردیم، یک سیستم اندازه گیری نسبت به آزمایش هایی با مدت زمان متفاوت - از چند روز تا 12 ماه.

جدول 1. جدول زمانی اندازه گیری. (همه تاریخ ها در سال 2017 هستند مگر اینکه غیر از این ذکر شده باشد.)

Measurement	Network		Num. Nodes	Dates
Bandwidth (All) Latency (BTC IPv4) (Single beacon)	BTC	IPv4	3441	Jan 11–16; Jan 30–Mar 16
		IPv6	515	Jan 13–14; Apr 20–25
		Tor	127	Jan 13; Apr 23–25
	ETH	IPv4	285	Mar 27–Apr 25
Peer-to-Peer Latency (Mult. Vantage Pts.)	BTC	IPv4	3390 (5.7M edges)	Jan 10–15; Jan 30–Mar 01
	ETH	IPv4	4302 (9.3M edges)	Mar 01–Apr 11
Latency (Single Beacon)	BTC	IPv6	845	Jan 13–14; Feb 03–Apr 25
Pruned Blocks	BTC	IPv4	5977	May 5 2016–Apr 29

ویژگی های شبکه BMS از چندین نقطه برتر برای به دست آوردن دید جامعی از شبکه های ارزهای دیجیتال استفاده می کند. برای ثبت تکامل این شبکه ها، BMS به طور مداوم داده هایی را در مورد پهنای باند ارائه شده همتاها و تأخیر همتا به همتا جمع آوری می کند. BMS ابتدا به یک همتا متصل می شود، اندازه گیری ها را جمع آوری می کند و سپس قبل از ادامه به همتای بعدی، اتصال را قطع می کند. این اندازه گیری ها (1) گره های بیت کوین متصل به IPv4، IPv6، و [Tor 23]، و (2) گره های اتریوم متصل به IPv4 را هدف قرار می دهند. از ماه می 2017، اتریوم هیچ گره توری ندارد، عمدتاً زیرا Tor منحصراً TCP است، در حالی که کشف گره اتریوم مبتنی بر UDP است. علاوه بر این، این مطالعه شبکه IPv6 اتریوم را حذف می کند زیرا BMS قادر به کشف گره های کافی برای رسیدن به نتایج کلی نبود. جدول 1 جدول زمانی جمع آوری داده ها برای هر شبکه و تعداد گره های اندازه گیری شده در هر اندازه گیری را نشان می دهد. برای تخمین تأخیر همتا به همتا، BMS از چندین نقطه برتر که به صورت جغرافیایی در سراسر جهان توزیع شده اند استفاده می کند. شکل 1 توزیع جغرافیایی زیرساخت اندازه گیری را نشان می دهد. پانزده گره از هجده گره در شبکه تحقیقاتی جهانی PlanetLab [14] قرار دارند و سه گره باقی مانده بخشی از شبکه دانشگاهی کورنل هستند که در Ithaca، نیویورک واقع شده است. برای اندازه گیری پهنای باند ارائه شده گره ها در بیت کوین و اتریوم، BMS از گره هایی با منابع گسترده استفاده کرد. به طور خاص، اندازه گیری حداکثر پهنای باندی که گره های بیت کوین و اتریوم به آن دسترسی دارند، به گره هایی با (1) ظرفیت دانلود بالا نیاز دارد تا اطمینان حاصل شود که گلوگاهها در دستگاه اندازه گیری نیستند، و (2) ظرفیت دیسک کافی برای ذخیره نتایج دقیق. از آنجایی که این ماشین ها به ظرفیت پهنای باند بالاتری نسبت به آنچه در زیرساخت های مشترک، مانند گره های PlanetLab قابل دستیابی

است، نیاز دارند، برخی از داده‌های BMS با استفاده از گره‌های نشانگر اختصاصی و خوب تجهیز شده در دانشگاه کورنل جمع‌آوری شدند.

در نهایت، BMS باید نمونه‌ای از گره‌ها را از شبکه‌های بیت کوین و اتریوم انتخاب کند. برای این منظور، BMS از فهرستی شامل گره‌های سایت‌های خزنده گره بیت‌کوین و اتریوم [1،31] و یک ابرگره اتریوم مستقر شده به صورت محلی که با محدودیت همتای بالایی پیکربندی شده است، استفاده می‌کند. تفاسیر در این مقاله فرض می‌کند که استنباط‌های حاصل از گره‌های عمومی قابل دسترسی نماینده کل شبکه‌های آن‌ها هستند. در واقع، این شبکه‌ها حاوی گره‌هایی هستند که برای عموم قابل مشاهده نیستند، به عنوان مثال، آنها در پشت NAT یا فایروال قرار دارند. یکی از این دسته از گره‌ها بخشی از استخراج است. در حالی که بسیاری از زیرساخت‌های استخراج خصوصی هستند، کار اندازه‌گیری قبلی نشان می‌دهد که عملیات استخراج اغلب دارای گره‌های دروازه برای ارتباط با شبکه همتا به همتا هستند [56].

ویژگی‌های گره‌های استخراج داخلی با تمرکز این مقاله متعامد هستند.

اطلاعات بلاک چین یک رویکرد ساده لوحانه برای به دست آوردن اطلاعات در مورد بلاک چین، اجرای ساده یک گره بیت کوین و اتریوم است. با این حال، این مانع از اطلاعاتی می‌شود که نمی‌توان از طریق پروتکل‌های سیم مربوطه به دست آورد. بسیاری از معیارهای مهم تمرکززدایی حول تجزیه و تحلیل بلوک‌هایی متمرکز می‌شوند که بخشی از بلاک چین اصلی نیستند. در اتریوم، بسیاری از این بلاک‌ها تبدیل به عمومی می‌شوند که به سادگی می‌توان آن‌ها را از طریق پروتکل وایر درخواست کرد. اما در بیت کوین، بلوکی که بخشی از بلاک چین اصلی نیست، به سادگی هرس می‌شود. بلوک‌های هرس شده در بیت کوین هیچ تأثیری بر وضعیت سیستم ندارند. آنها بدون تأثیر بر صحت توسط مشتریان حذف می‌شوند. بنابراین، اتصال مستقیم به ماینرها برای گرفتن بلوک‌های هرس شده بسیار مهم است.

یکی از اجزای حیاتی BMS برای مشاهده بلوک‌های هرس شده، شبکه رله فالکون است که بلاک‌ها را بین ماینرهای بیت کوین رله می‌کند. شبکه رله فالکون از مسیریابی برش برای انتشار سریع بلوک‌ها در سراسر جهان استفاده می‌کند و ماینرها را تشویق می‌کند تا به فالکون متصل شوند. در واقع، فالکون به طور مستقیم به حداقل 36.4 درصد از کل قدرت هش بیت کوین متصل است. از آنجایی که فقط یک شبکه رله عملیاتی دیگر برای بیت کوین وجود دارد [16،18]، فالکون بلوک‌هایی را مشاهده کرده است که در سایر گره‌های به خوبی متصل دیده نشده اند [8].

#### 4 اندازه‌گیری

در این بخش، اندازه‌گیری‌های انجام شده توسط BMS را ارائه می‌دهیم. برای هر اندازه‌گیری، روش شناسی را توصیف می‌کنیم و به دنبال آن نتایج تجزیه و تحلیل خود را بیان می‌کنیم. مانند هر مطالعه اندازه‌گیری یک مصنوع در مقیاس بزرگ و غیرقابل ابزار، اندازه‌گیری‌ها بی‌نقص نیستند. ما هر بخش را با پرداختن به برخی از منابع احتمالی خطا و کاهش آنها به پایان می‌رسانیم.

#### 4.1 پهنای باند ارائه شده

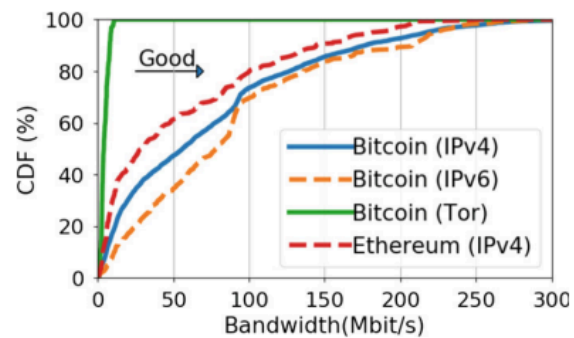
پهنای باند تدارک دیده تخمینی از ظرفیت انتقال یک گره است که مشخص می کند گره چقدر پهنای باند برای برقراری ارتباط با بقیه شبکه ارزهای دیجیتال دارد. پهنای باند تدارک دیده بیشتر به ماینرها کمک می کند تا بلاکها را سریعتر به/از شبکه منتشر و جمع آوری کنند. بنابراین، برای یک ماینر مخرب قرار گرفتن در شبکه برای دستیابی به ویژگی عجله [35] و حمله به بلاک چین دشوارتر می شود. آگاهی از پهنای باند ارائه شده همچنین به تنظیم پارامترهای پروتکل، مانند اندازه بلوک و فرکانس کمک می کند.

**روش شناسی.** BMS پهنای باند ارائه شده هر همتا را با درخواست مقدار زیادی داده از هر همتا و مشاهده سرعتی که همتاها می توانند داده ها را به گره های اندازه گیری BMS ارسال کنند، اندازه گیری می کند. BMS این کار را با درخواست بلوک هایی انجام می دهد که برای اولین بار بیش از یک سال پیش دیده شده اند - مشابه اینکه یک گره بیات از بلوکها برای همگام سازی حالت می خواهد. هر درخواست مجموعه ای از بلاک ها در بیت کوین و بلاک ها یا بدنه های مربوطه در اتریوم را درخواست می کند. سپس، BMS زمان را به دوره ها تقسیم می کند و تعداد بایت های دریافتی در طول هر دوره را ثبت می کند. این فرآیند تا زمانی ادامه می یابد که یا BMS همه داده ها را دریافت کند یا به یک بازه زمانی از پیش تعریف شده 30 ثانیه برسد. مهلت زمانی طولانی به BMS کمک می کند تا اثرات ناشی از شروع آهسته TCP و سایر نویزهای اولیه را حذف کند، همچنین جهش های کاذب در توان عملیاتی ناشی از بافر در هسته توسط BMS را شناسایی و حذف می کند. در نهایت، BMS داده های جمع آوری شده را برای تعیین پهنای باند ارائه شده پردازش می کند. برای انجام این کار، ابتدا جریان های داده مستقل را با ترکیب دوره های متوالی حاوی انتقال داده های فعال شناسایی می کند. سپس، جریان های کوتاه تر از 500 میلی ثانیه را حذف می کند تا مصنوعات اولیه سازی مانند شروع آهسته TCP را کاهش دهد. سپس BMS حداکثر توان عملیاتی مشاهده شده را در بین جریانهای پیوسته مجزای باقیمانده به عنوان پهنای باند تدارک دیده شده از همتای راه دور خروجی می دهد.

نکته: آزمایشها در این مقاله بر روی سرورهای بالینک های 1 گیگابیت در دانشگاه کورنل اجرا می شوند. این موضوع از سال 2016 تا 2017 تغییر نکرده است که به ما امکان مقایسه با یک مطالعه پیشین در سال 2016 را می دهد [20].

	Bitcoin			Eth.
	IPv4 [Mbps]	IPv6 [Mbps]	Tor [Mbps]	IPv4 [Mbps]
10%	5.7	11.0	2.1	3.4
33%	23.3	45.2	3.1	11.2
50%	56.1	78.2	4.1	29.4
67%	91.1	94.3	5.6	68.3
90%	177.0	207.9	8.1	144.4
Avg.	73.1	86.5	4.7	55.0
Std. Dev.	68.4	66.9	2.4	58.8

(a) Provisioned bandwidth statistics.



(b) CDF

## نمودار 2. آمار در مورد توزیع پهنای باند ارائه شده و CDF.

**نتایج.** ما مشاهده می‌کنیم که گره‌های بیت‌کوین در هر دو شبکه IPv4 و IPv6 به طور مداوم پهنای باند بالاتری نسبت به گره‌های اتریوم IPv4 دارند. به طور خاص، گره‌های بیت‌کوین IPv4 و IPv6 میانه حدود  $\times 1.9$  و  $\times 2.7$  پهنای باند گره معمولی IPv4 اتریوم دارند. در مقابل، گره‌های بیت‌کوین Tor در مقایسه با گره‌های متصل مستقیم، پهنای باند کمتری دارند، اگرچه غیرقابل استفاده نیستند - برای مثال، 90 درصد آنها بیش از 2 مگابیت بر ثانیه دارند. تحقیقات در حال انجام جایگزین‌هایی برای شبکه Tor را بررسی می‌کند که ارتباطات کارآمدی را نیز فراهم می‌کند [50]. شکل 2b توزیع تجمعی اندازه‌گیری‌های پهنای باند را نشان می‌دهد. افزایش شدید در منحنی‌های بیت‌کوین IPv4/IPv6 در حدود 10 مگابیت بر ثانیه و مناطق 100 مگابیت بر ثانیه نشان‌دهنده ظرفیت‌های پهنای باند معمولی یک کاربر خانگی و نمونه معمولی بیت‌کوین EC2 آمازون است. برای اتریوم، ما تجمع مشابهی را در اطراف منطقه 10 مگابیت بر ثانیه مشاهده می‌کنیم، اما پهنای باند به طور مساوی روی گره‌های باقی‌مانده توزیع می‌شود. همانطور که توزیع طولانی و انحراف استاندارد بالاتر نشان می‌دهد، پهنای باند گره‌های بیت‌کوین IPv4/IPv6 در مقایسه با گره‌های اتریوم در محدوده وسیع‌تری از مقادیر پخش شده است. در حالی که بهترین نودهای بیت‌کوین دارای حدود 300 مگابیت بر ثانیه پهنای باند اضافی هستند، بالاترین ظرفیت گره‌های اتریوم که BMS مشاهده کرده است به 250 مگابیت بر ثانیه محدود شده است.

یکی از جالب‌ترین اکتشافات این مطالعه این است که شبکه بیت‌کوین از نظر پهنای باند ارائه شده به طور فوق‌العاده‌ای بهبود یافته است. نتایج نشان می‌دهد که گره‌های بیت‌کوین IPv4 که قبلاً در سال 2016 با پهنای باند متوسط 33 مگابیت بر ثانیه به شبکه متصل می‌شدند، اکنون از فوریه 2017 دارای پهنای باند متوسط 56 مگابیت بر ثانیه هستند. به عبارت دیگر، پهنای باند ارائه شده برای یک گره کامل معمولی اکنون  $\times 1.7$  آنچه در سال 2016 بود است.

پارامترهای حیاتی سیستم، مانند حداکثر اندازه بلوک و فرکانس بلوک را می توان با افزایش پهنای باند ارائه شده افزایش داد. افزایش پهنای باند ارائه شده نشان می دهد که اندازه بلوک را می توان با ضریب 1.7 افزایش داد بدون اینکه تمرکز بیش از سطح واقعی آن در سال 2016 افزایش یابد.

**هشدارها.** مانند هر تکنیک اندازه گیری در دنیای واقعی، نتایج ما در بالا مشمول محدودیت های تجربی و خطاهای مورد انتظار هستند. دقت اندازه گیری ها ممکن است تحت شرایط خاصی کاهش یابد، از جمله مواردی که: (1) گلوگاه شبکه در کنار چراغ اندازه گیری قرار دارد تا همتهای راه دور، (2) ترافیک شبکه در سمت BMS با جمع آوری شده تداخل می کند. در نتیجه، (3) همتهای راه دور عمداً ترافیک را شکل می دهد تا پهنای باند موجود برای BMS را به طور انتخابی محدود کند، به عنوان مثال از طریق محدود کردن پهنای باند، و (4) پهنای باند حالت پایدار متفاوت بین بیت کوین و اتریوم، که اعداد یک سیستم را نسبت به سیستم دیگر تغییر می دهد. راه اندازی زیرساخت پهنای باند ما به حداقل رساندن عدم دقت احتمالی به دلیل دو مشکل اول کمک می کند. علاوه بر این، تجزیه و تحلیل پیاده سازی های محبوب بیت کوین [5] و کلاینت اتریوم [19،42،60،61] نشان می دهد که مورد سوم توسط این نرم افزار پشتیبانی نمی شود و برای راه اندازی به کار اضافی، بالقوه غیر ضروری نیاز دارد. برای تأیید تأثیر آخرین مشکل، یک کلاینت اتریوم و بیت کوین را اجرا کردیم و دیدیم که مصرف پهنای باند آنها 0.2 مگابیت بر ثانیه متفاوت است، که حدود 1 درصد خطا در اندازه گیری های ما در بالا نشان می دهد.

علاوه بر تجزیه و تحلیل ما در بالا، ما همچنین انتظار داریم که مصنوعات خاصی را در داده های خود ببینیم. همانطور که در بالا ذکر شد، ما شاهد خوشه هایی از گره ها با سرعتی در حدود 10 مگابیت بر ثانیه و 100 مگابیت در ثانیه هستیم که به ترتیب ظرفیت های پهنای باند معمولی کاربران خانگی و EC2 هستند.

## 4.2 ساختار شبکه

ساختار شبکه همتهای عمیقاً بر امنیت و عملکرد ارزهای دیجیتال تأثیر می گذارد. یک شبکه خوشه بندی شده جغرافیایی می تواند به سرعت یک بلوک جدید را در بسیاری از گره های دیگر منتشر کند، و انتشار بلوک ها/تراکنش های متضاد را سریع تر از گره های صادق برای استخراج کننده های مخرب چالش برانگیز تر می کند. با این حال، یک شبکه کمتر خوشه ای ممکن است نشان دهد که گره های کامل توسط طیف متنوع تری از کاربران اداره می شوند، که برای تمرکززدایی نیز مفید است.

**روش شناسی.** از آنجایی که اندازه گیری مستقیم بین همتهایی که کنترل نمی کنیم امکان پذیر نیست، از تکنیک های برآورد پیشرفته برای ایجاد مرزها و به دست آوردن بینش در ساختار شبکه استفاده می کنیم.

**Single Beacon Latency:** ابتدا اندازه گیری های پینگ ICMP مستقیم را از گروه های BMS برای همه همتایان در شبکه جمع آوری می کنیم. ما حداقل تأخیر پینگ مشاهده شده را گزارش می کنیم، زیرا یک محدودیت فیزیکی در فاصله تا چراغ BMS ایجاد می کند.

**تأخیر Peer-to-Peer:** اندازه گیری تأخیر peer-to-peer مستلزم دسترسی به نقاط پایانی است. هم در بیت کوین و هم در اتریوم، همتایان همسایگان خود را آشکار نمی کنند. پنهان کردن ساختار شبکه حریم خصوصی و امنیت را افزایش می دهد [45،56]، اما همچنین استنباط ویژگی های شبکه را دشوارتر می کند. BMS تخمین های تأخیر را برای ابرمجموعه ای از پیوندهای واقعی بین همتایان شناخته شده ارائه می دهد. ما برای اندازه های کمی متفاوت شبکه، 3390 برای بیت کوین و 4302 برای اتریوم، نرمال نمی کنیم، زیرا نمونه های ما از هر دو شبکه بسیار شبیه بودند. از آنجایی که اندازه گیری تأخیرهای همتا به همتا به طور مستقیم امکان پذیر نیست، ما با استفاده از تکنیک های ادبیات قبلی، محدودیت هایی را از تأخیرهای مشاهده شده از چراغ های چندگانه تعیین می کنیم [37]. BMS با اندازه گیری های گرفته شده از یک چراغ شروع می شود. سپس، از نابرابری مثلث برای تخمین مرزهای بالا و پایین برای تأخیر بین همتایان استفاده می کند. تکرار این فرآیند از سایر نقاط برتر، مجموعه ای از مرزها را برای هر جفت همتا به دست می دهد. در نهایت، BMS با انتخاب حداکثر کران پایین و حداقل کران بالا، محدوده ای را برای تخمین تأخیر بین هر همتا تعیین می کند. این مقاله همچنین میانگین تأخیر کران پایین و کران بالایی را بین همتایان ارائه می کند. در این مطالعه، BMS شامل گروه هایی است که از فورک [10 DAO] در اندازه گیری های خود برای اتریوم پشتیبانی نمی کنند.

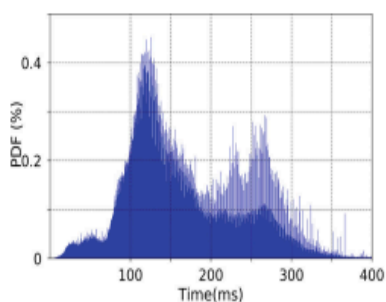
**فاصله جغرافیایی:** BMS حداقل اندازه گیری تأخیر مکرر را برای حذف اثرات شبکه گذرا و گرفتن فاصله جغرافیایی بین دو گروه می گیرد [13،43،69]. BMS همچنین از داده های موقعیت جغرافیایی IP برای محاسبه فاصله بین گروه های همتا به عنوان اعتبار سنجی اضافی در نتایج ما استفاده می کند. برای محاسبه فواصل، BMS فرمول هاورسین [63] را با استفاده از مقادیر مختصات جمع آوری شده از یک سرویس مکان یابی مبتنی بر IP اعمال می کند [46].

## جدول 2. حداقل تأخیرهای تک چراغ مشاهده شده و تخمین تأخیر P2P.

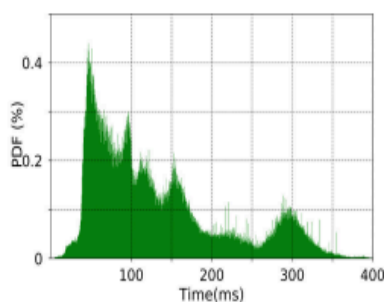
نتایج. اندازه گیری های ما نشان دهنده تفاوت های قابل توجهی بین تأخیرهای P2P شبکه های IPv4 بیت کوین و اتریوم است که در جدول 2 و PDF نشان داده شده است.	Single beacon		Peer-to-Peer	
	Bitcoin		Bitcoin	Eth.
	IPv4 [ms]	IPv6 [ms]	IPv4 [ms]	IPv4 [ms]
10%	29	40	48	92
33%	78	80	79	125
50%	89	95	109	152
67%	98	95	152	200
90%	201	165	286	276
Avg.	97	103	135	171
Std. Dev.	59	62	88	76

مشاهده می‌کنیم که بیت کوین دارای تعداد بیشتری گره است که از نظر جغرافیایی در مقایسه با اتریوم نزدیکتر هستند. شکل 3 نشان می‌دهد که محتمل‌ترین تأخیرهای اتریوم در حدود 120 میلی‌ثانیه متمرکز شده‌اند، در حالی که گره‌های بیت‌کوین تمایل دارند حدود 50 میلی‌ثانیه جمع شوند. تنها 13 درصد از تأخیرهای اتریوم زیر 100 میلی‌ثانیه است، در حالی که بیت‌کوین به طرز شگفت‌آوری 46 درصد را نشان می‌دهد. علاوه بر این، تخمین تأخیر هم‌تا به هم‌تا بین گره‌های اتریوم به طور متوسط ۲۶.۷ درصد بیشتر از بیت‌کوین است. این نزدیکی جغرافیایی بین گره‌ها، همراه با مشاهده اینکه بیت‌کوین دارای گره‌های زیادی با پهنای باند 100 مگابیت بر ثانیه است (به بخش 4.1 مراجعه کنید)، نشان می‌دهد که تعداد زیادی گره بیت‌کوین در مراکز داده کار می‌کنند. به طور خاص، 56 درصد از گره‌های بیت‌کوین و 28 درصد از گره‌های اتریوم متعلق به یک سیستم خودمختار است که خدمات میزبانی اختصاصی را ارائه می‌دهد که از نظر آماری تفاوت معنی‌داری در سطح معناداری 1 درصد دارد.

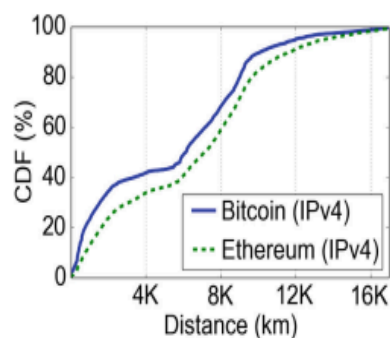
در واقع، گره‌های اتریوم در یک منطقه جغرافیایی متمرکز نیستند، بلکه به طور مساوی در سراسر جهان توزیع شده‌اند. شکل 3c تابع توزیع تجمعی (CDF) فواصل بین گره‌های هم‌تا به هم‌تا را بر اساس اطلاعات موقعیت جغرافیایی IP نشان می‌دهد. نتایج از یافته‌های ما به دست آمده از اندازه‌گیری‌های تأخیر شبکه پشتیبانی می‌کنند، که نشان می‌دهد گره‌های اتریوم از نظر جغرافیایی پراکنده‌تر از گره‌های بیت‌کوین هستند. به عنوان شواهد اضافی، استفاده از موقعیت جغرافیایی در فواصل P2P و رسم CDF در شکل 3c نشان می‌دهد که گره‌های اتریوم به طور گسترده‌تری از بیت‌کوین جدا شده‌اند.



(a)



(b)



(c)

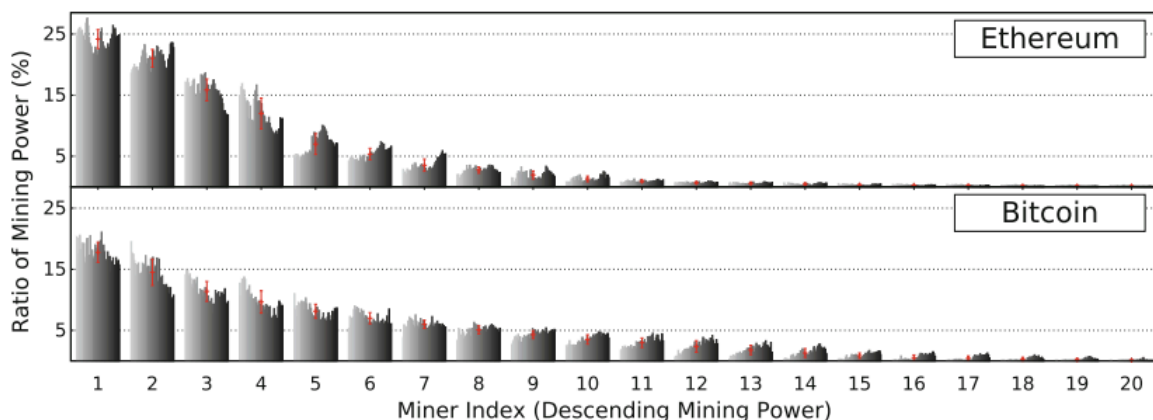
**نمودار 3.** هیستوگرام تأخیرهای P2P در اتریوم (a) و بیت‌کوین (b)، و همچنین CDF فواصل جغرافیایی (c).

**بررسی سلامت.** دو ستون اول جدول 2 تأخیر تک چراغی را در شبکه‌های بیت‌کوین IPv4/IPv6 نشان می‌دهد. نتایج نشان می‌دهد که هم میانگین و هم متوسط تأخیر گره‌های IPv4

کوچکتر از گره های IPv6 هستند. زیرا گره های IPv6 کمتر از گره های IPv4، ما انتظار این نتیجه را داریم زیرا گره های IPv4 به احتمال زیاد به چراغ های ما نزدیک تر هستند. در حالی که تعداد زیادی کار وجود دارد که شیوع نقض نابرابری مثلث در اینترنت را نشان می دهد [12،52،67]، دلایل متعددی وجود دارد که اندازه گیری های BMS به طور قابل توجهی تحت تأثیر قرار نمی گیرند. اول، نشان داده شد که چنین تخلفاتی کمتر از 5 درصد از عکس های فوری شبکه رخ می دهد [52]. از آنجایی که ما حداقل تأخیر مشاهده شده را از یک فانوس دریایی می گیریم، نقض نابرابری مثلث فقط در کمتر از 1٪ مواقع در مجموعه داده ما رخ می دهد [52]. TIV ها همچنین هنگام برخورد با تاخیرهای کمتر از 300 میلی ثانیه که تقریباً کل مجموعه داده ما را شامل می شود، به طور قابل توجهی کمتر رایج هستند [67]. برای اطمینان از اینکه نتایج فوق برای مجموعه داده ما نیز صادق است، از یک سرویس موقعیت جغرافیایی به عنوان حقیقت زمین برای تأیید نتایج خود استفاده کردیم. یکی دیگر از محدودیت های مطالعه ما این است که جمع آوری اندازه گیری ها با استفاده از پینگ های ICMP از گره هایی که ترافیک ICMP را مسدود می کنند و از گره های Tor که فقط از طریق TCP ارتباط برقرار می کنند، غیرممکن است.

### 4.3 توزیع قدرت استخراج

استخراج در شبکه های ارزهای دیجیتال یک فرآیند پیچیده است که عموماً به قدرت محاسباتی قابل توجهی نیاز دارد. با توجه به سطوح دشواری استخراج فعلی بیت کوین و اتریوم، استفاده از سخت افزار کالا برای تولید بلوک عملی نیست [21] و به درجاتی از تمرکز در فرآیند استخراج کمک می کند. با این وجود، تا زمانی که چندین نهاد مختلف در استخراج درگیر هستند، سیستم درجه ای از تمرکززدایی را حفظ می کند. در این زمینه، ما تمرکززدایی فرآیند استخراج بین بیت کوین و اتریوم را ارزیابی و مقایسه می کنیم.



**نمودار 4.** توزیع قدرت استخراج در شبکه های بیت کوین و اتریوم. میله ها، انحراف استاندارد مشاهده شده از میانگین را نشان می دهند.

**روش شناسی.** برای ارزیابی قدرت استخراج کنندگان در بیت کوین و اتریوم، توزیع هفتگی آن ها را در 10 ماه گذشته، از 15 جولای 2016، تجزیه و تحلیل کردیم. تخمین های قدرت ماینینگ ما بر نسبت بلوک های زنجیره اصلی تولید شده توسط موجودیت های مجزا تکیه می کنند. در نتیجه،

بلوک های هرس شده در بیت کوین و عموماً در اتریوم بر این تخمین ها تأثیری ندارند. در هر دو شبکه، ماینرها داوطلبانه هویت خود را به عنوان بخشی از هر بلوکی که استخراج می کنند، افشا می کنند. ما این داده ها را از یک API عمومی برای بیت کوین [9] و یک کاوشگر بلاک چین برای اتریوم [32] به دست آوردیم. در بیت کوین، 1.8 درصد از بلاک ها ناشناس بودند، که گویی توسط استخراج کنندگان مجزا تولید شده اند. در نهایت، هویت ها را برای شناسایی و ادغام موارد تکراری به صورت دستی پردازش کردیم. این شامل استخراج هایی می شود که توسط یک مدیر اداره می شوند [47] و هویت های متعددی که یک استخراج را نشان می دهند، که با جستجوی نام استخراج مشابه با برچسب مربوطه، به عنوان مثال، «DwarfPool1» و «DwarfPool2» شناسایی می شوند. در حالی که توجه به این نکته مهم است که ماینرها می توانند استخراج کننده انفرادی یا ماینینگ استخراج باشند، این تمایز برای اهداف این تحلیل بی اهمیت است. این استدلال که استخراج های استخراج درجه ای از تمرکززدایی را ارائه می دهند به دلیل اینکه شرکت کنندگان در استخراج ماینینگ رفتار اپراتور استخراج را بررسی می کنند، هیچ پشتیبانی تجربی ندارد. به عنوان مثال، شناسایی حملات سانسور توسط اپراتورهای استخراج توسط شرکت کنندگان استخراج اگر غیرممکن نباشد، دشوار است. علاوه بر این، زمانی که ماینرها در سه نوبت مختلف در تاریخ بیت کوین از آستانه 51 درصد فراتر رفتند، شرکت کنندگان استخراج علیرغم شواهد واضحی از رفتاری که به طور گسترده غیرقابل قبول بود، استخراج را منحل نکردند. مهمتر از همه، اینکه آیا استخراج های استخراج درجه ای از تمرکززدایی را ارائه می دهند یا خیر، برای اهداف این مقاله، که یک گزارش تاریخی دقیق ارائه می کند، بی اهمیت است. ما آنچه را که در زمان استخراج بلوک ها اتفاق افتاد، همانطور که در بلاک چین ثبت شده است، گزارش می کنیم. به این ترتیب، مهم نیست که ماینرها بخشی از یک استخراج بوده اند یا اینکه آنها معدنچیان انفرادی بوده اند. در زمانی که یک بلوک به زنجیره متعهد شد، شرکت کنندگان استخراج به عنوان بخشی از همان نهاد معدنی به طور ناخواسته همکاری می کردند.

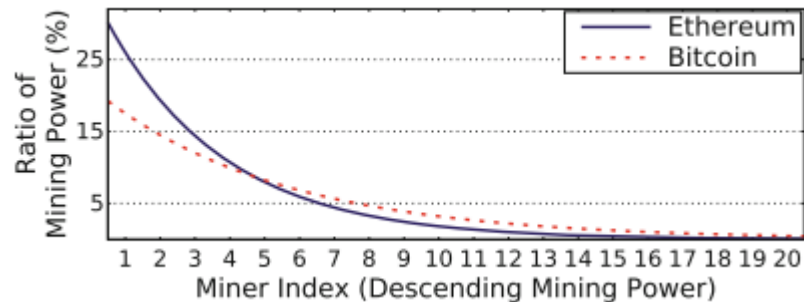
**نتایج.** برای هر هفته از دوره تجزیه و تحلیل، ما قدرت استخراج متناظر موجودیت ها را محاسبه کردیم و بر اساس آن هر ماینر را رتبه بندی کردیم. شکل 4 20 توزیع قدرت هفتگی برتر در شبکه های اتریوم و بیت کوین را نشان می دهد. هر گروه از میله ها مجموعه ای از نسبت های قدرت ماینینگ هفتگی را به ترتیب زمانی نشان می دهد که به عنوان کسری از بلوک های ارائه شده توسط یک ماینر تعریف می شود. شکل 4 نشان می دهد که در بیت کوین، قدرت ماینینگ هفتگی یک نهاد واحد هرگز از 21 درصد قدرت کلی تجاوز نکرده است. در مقابل، ماینر برتر اتریوم هرگز کمتر از 21 درصد از قدرت استخراج را نداشته است. علاوه بر این، چهار ماینر برتر بیت کوین بیش از 53 درصد از میانگین قدرت استخراج را دارند. به طور متوسط، 61 درصد از قدرت هفتگی تنها توسط سه ماینر اتریوم تقسیم می شد. این مشاهدات حاکی از فرآیند استخراج کمی متمرکزتر در اتریوم است.

اگرچه ماینرها در طول دوره مشاهده رتبه های خود را تغییر می دهند، هر نقطه فقط توسط چند ماینر رقابت می شود. به طور خاص، تنها دو استخراج کننده بیت کوین و سه ماینر اتریوم تا کنون رتبه برتر را داشته اند. همین استخراج ماینینگ 29 درصد مواقع در بیت کوین و 14 درصد مواقع در اتریوم در رتبه اول بوده است. بیش از 50 درصد از قدرت استخراج منحصراً توسط هشت ماینر در بیت کوین و پنج ماینر در اتریوم در طول دوره مشاهده شده به اشتراک گذاشته

شده است. به نظر می‌رسد حتی 90 درصد از قدرت ماینینگ تنها توسط 16 ماینر در بیت کوین و تنها 11 ماینر در اتریوم کنترل می‌شود. از این رو، هر دو پلتفرم برای حفظ بلاک چین به شدت به تعداد کمی از نهادهای استخراج متمایز متکی هستند. در واقع، در شکل 5 می‌بینیم که روندهای قدرت ماینینگ می‌توانند به صورت توزیع‌های نمایی با منحنی‌های  $(0.21e^{-0.19x})$  و  $(0.35e^{-0.30x})$  در بیت کوین و اتریوم مناسب باشند. این منحنی‌ها ضریب مقدار تعیین 0.99 را به دست می‌دهند.

این نتایج نشان می‌دهد که یک سیستم حد نصاب بیزانسی [53] با اندازه 20 می‌تواند به تمرکززدایی بهتری نسبت به استخراج اثبات کار با هزینه منابع بسیار کمتر دست یابد. این نشان می‌دهد که تحقیقات بیشتر برای ایجاد یک پروتکل اجماع بدون مجوز بدون چنین درجه بالایی از تمرکز ضروری است.

**نمودار 5.** خطوط روند نمایی برای توزیع متوسط توان استخراج.



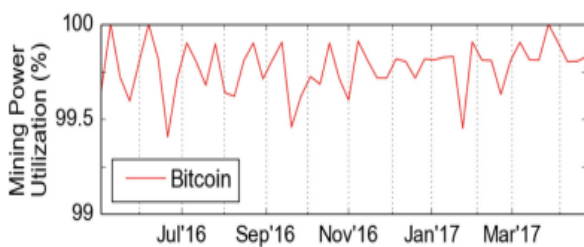
بررسی سلامت: مشابه سایر آثار موجود در ادبیات [58,68]، ما این فرض را داریم که معدنچیان به طور دقیق خود را شناسایی می‌کنند. ماینری که بخش قابل توجهی از قدرت هش را به ارز دیجیتال کمک می‌کند، می‌تواند مقداری تأثیر بر تغییرات پروتکل داشته باشد. بنابراین، این احتمال وجود دارد که ماینرها بخواهند بلاک‌هایی را که تولید کرده‌اند، ادعا کنند. در حالی که ماینرهای قوی نفوذ سیاسی پیدا می‌کنند و اعضای بیشتری را جذب می‌کنند، بزرگ شدن بیش از حد باعث ایجاد هشدار در جامعه در مورد تمرکز می‌شود. در نتیجه، چنین ماینرهایی ممکن است تصمیم بگیرند که این اطلاعات را پنهان یا مبهم کنند تا کمتر قدرتمند به نظر برسند - به عنوان مثال، با تولید چندین هویت. به عنوان مثال، دو استخراج بزرگ ماینینگ، Ethpool و Ethermine، به طور عمومی نشان می‌دهند که مدیر یکسانی دارند [47]. بنابراین، هر تجزیه و تحلیل مبتنی بر داده‌های داوطلبانه ماینرها به سمت یک شبکه غیرمتمرکزتر از واقعیت منحرف می‌شود.

#### 4.4 استفاده از توان استخراج

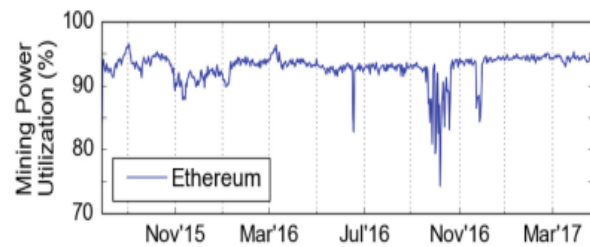
استفاده از توان استخراج [34]، که کسری از بلوک‌های استخراج شده را که در زنجیره اصلی باقی می‌مانند، اندازه‌گیری می‌کند، به عنوان معیاری برای ارزیابی کارایی یک پروتکل، و همچنین یک متریک درجه دوم برای استحکام در برابر عقب‌گردها عمل می‌کند. با افزایش

استفاده از توان ماینینگ، پروتکل می تواند انرژی بیشتری را به کار مفید تبدیل کند و در نتیجه هزینه حمله را افزایش دهد.

**روش شناسی.** برای بررسی استفاده از توان استخراج، توزیع هفتگی و روزانه بلوک های هرس شده در بیت کوین و عموها در اتریوم را در مقایسه با بلاک های زنجیره اصلی تحلیل کردیم. ما این داده ها را از (1) شبکه فالكون، (2) یک مشتری محلی بیت کوین، و (3) کاوشگر های بلاک چین عمومی برای بیت کوین [9] و اتریوم [32] بازیابی کردیم. به طور خاص، کاوشگر بلاک چین بیت کوین و فالكون به ترتیب 12 درصد و 20 درصد از کل 124 بلوک هرس شده را به طور انحصاری ارائه کردند. هر دو منبع مجموعاً عامل کشف 68 درصد باقی مانده بودند.



(a) Bitcoin- weekly MPU from 99%



(b) Ethereum- daily MPU from 70%

## نمودار 6. استفاده از قدرت استخراج برای هردو رمزارز بیت کوین و اتریوم

**نتایج.** شکل 6a و b به ترتیب توزیع هفتگی و روزانه استفاده از توان استخراج در شبکه های بیت کوین و اتریوم را نشان می دهد. یافته ها نشان می دهد که استفاده از بیت کوین به طور مداوم از 99 درصد فراتر می رود که نشان می دهد یک بلوک بریده شده در بیت کوین یک رویداد نسبتاً نادر است. در مقابل، استفاده روزانه در اتریوم معمولاً در محدوده 90% تا 94% قرار می گیرد و هرگز از آستانه 97% فراتر نمی رود. در طول سال 2016، اتریوم گاه به گاه افت استفاده را تجربه می کند، از 74% تا 88%، به ویژه در طی (1) روزهای پس از بهره برداری از آسیب پذیری [10] DAO [17 تا 18 ژوئن، (2) حملات به شبکه اتریوم [11,66] بین 22 سپتامبر تا 19 اکتبر و (3) روزهای پس از هارد فورک [48] Spurious Dragon [23 تا 29 نوامبر. این نتایج نشان دهنده یک رابطه قوی بین استفاده از توان استخراج و رویدادهای واقعی در اتریوم است. این ممکن است به اقدامات پیشگیرانه ای نسبت داده شود که شبکه را برای کاهش سرعت مهاجم DAO ارسال می کند، بازیگران بدی که بلوک هایی با تقاضای منابع بیش از حد تولید می کنند، و ماینر هایی با کلاینت های قدیمی. این نتایج نشان می دهد که یک شبکه رله مانند فالكون برای شبکه اتریوم بسیار مفید است.

**بررسی سلامت.** طراحی پروتکل اتریوم، همتایان را موظف می کند تا بلوک های عمومی را که در زنجیره اصلی نیستند، ذخیره و منتشر کنند. در مقابل، بلاک چین بیت کوین تنها زنجیره اصلی را ذخیره می کند، بنابراین همتایان بلوک های هرس شده را منتشر نمی کنند. بنابراین، گرفتن چنین بلوک هایی در بیت کوین مستلزم نظارت فعالانه بر شبکه است. در حالی که شبکه رله فالكون انگیزه قوی برای ماینرها فراهم می کند تا بلوک ها را از طریق آن رله کنند، برخی

از ماینرها ممکن است این کار را انجام ندهند. در نتیجه، ممکن است برخی از بلوک‌های هرس‌شده‌ای را که توسط شبکه بیت‌کوین ایجاد شده‌اند از دست بدهیم.

#### 4.5 انصاف

بخش 4.3 توزیع قدرت ماینینگ را با تمرکز بر حضور ماینرها در زنجیره اصلی مورد بحث قرار داد. تأثیر این توزیع بر نرخ بلوک هرس شده استخراج‌کننده نامشخص است. برای کشف این رابطه، انصاف را بررسی می‌کنیم، که به عنوان نسبت سهم ماینر از بلوک‌های هرس شده به قدرت استخراج او تعریف می‌شود. در یک پروتکل منصفانه، ماینرها باید بلوک‌های هرس شده را متناسب با قدرت ماینینگ خود تولید کنند که در نتیجه انصاف نزدیک به 1 است. انصاف بیشتر از 1 نشان می‌دهد که یک ماینر ضعیف است، در حالی که انصاف کمتر از 1 حاکی از یک مزیت است.

**روش شناسی.** ما از شبکه فالکون و یک کاوشگر بلاک چین بیت کوین [8] برای بازیابی بلوک‌های هرس شده بیت کوین استفاده کردیم، به ترتیب 109 و 99 بلوک از هر منبع به دست آوردیم که منجر به 124 بلوک هرس شده مجزا شد. عموماً از یک کاوشگر بلاک چین اتریوم جمع‌آوری شدند [32]. مشابه بخش 4.3، نتایج ما فرض می‌کند که ماینرها داوطلبانه خود را در بلوک‌های عمو/هرس شده شناسایی می‌کنند. یک اخطار در جمع‌آوری بلوک‌های هرس شده وجود دارد، زیرا تشویق ماینرها برای رله کردن بلوک‌ها از طریق فالکون، مطابقت آنها را تضمین نمی‌کند. ذخیره سازی صریح عموها در اتریوم احتمالاً نسبت بیشتری از بلوک‌های هرس شده را جذب می‌کند.

**نتایج.** شکل 7 توزیع عادلانه 20 ماینر برتر با بالاترین قدرت استخراج را نشان می‌دهد. نتایج نشان می‌دهد که در هر دو شبکه، چهار ماینر برتر عموماً موفقیت بیشتری در الحاق بلوک‌ها به زنجیره اصلی نشان می‌دهند. برای مقایسه توزیع‌های عادلانه بیت‌کوین و اتریوم، آزمون خوبی برازش Kolmogorov-Smirnov با مقدار  $p < 0.01$  انجام شد. به طور شگفت‌انگیزی، اتریوم و بیت کوین تفاوت‌های قابل توجهی را در انصاف نشان می‌دهند و یک دوره زمانی ثابت را حفظ می‌کنند. واریانس در انصاف ماینر بیت کوین بسیار بزرگتر از اتریوم است (1.72 در مقابل 0.25). با این حال، میانگین هر دو توزیع عادلانه بسیار مشابه است، اتریوم در 1.08 و بیت کوین در 1.22 است.

واریانس بالا فشار تمرکز را ایجاد می‌کند، زیرا ماینرهای کوچکتر ممکن است با از دست دادن درآمد به دلیل نمرات عادلانه‌گذرا بالا دست و پنجه نرم کنند. اختلاف واریانس نتیجه مستقیم تعداد بسیار کمتر بلوک‌های تولید شده در بیت کوین است. فرکانس بلاک بالاتر اتریوم به ماینرهای کوچکتر سود قابل پیش‌بینی تری نسبت به ماینرهای بزرگتر می‌دهد. پروتکل‌های بلاک چین باید هم واریانس و هم میانگین پاداش‌های بلاک را در نظر بگیرند. صرفاً افزایش فرکانس بلوک ممکن است مشکل واریانس را برطرف نکند، زیرا می‌تواند بر توزیع توان استخراج تأثیر بگذارد. افزایش فرکانس بلوک اتریوم ممکن است به توزیع متمرکزتر قدرت ماینینگ آن کمک کند (به بخش 4.3 مراجعه کنید).

**بررسی سلامت.** مشابه بخش 4.4، نتایج ما فرض می‌کند که ماینرها داوطلبانه خود را در بلوک‌های عمو/هرس شده شناسایی می‌کنند. اگر ماینرها اطلاعات نادرست ارائه دهند، سیستم

ممکن است منصفانه تر از آنچه که هست به نظر برسد. به علاوه، اخطار جمع‌آوری بلوک‌های هرس شده همچنان ادامه دارد، زیرا تشویق استخراج‌کنندگان برای انتقال بلوک‌ها از طریق فالکون، تضمینی برای انطباق نیست. ما گمان می‌کنیم که ذخیره سازی صریح عموماً در اتریوم امکان تجزیه و تحلیل دقیق تری را فراهم می‌کند. در نهایت، فرکانس پایین‌تر تولید بلاک بیت‌کوین و نرخ بلاک کاهش یافته در مقایسه با اتریوم، نويز را به معيار انصاف وارد می‌کند و تفسیر آن را در بیت‌کوین در مقایسه با اتریوم چالش‌برانگیزتر می‌کند.

## 5 نتیجه گیری

خلاصه ای از مطالبی که در این مبحث به آنها پرداخته و سعی در تحلیل آن داشتیم.

مقایسه تمرکززدایی: نتیجه‌گیری جنبه غیر متمرکز دو ارز دیجیتال محبوب، بیت‌کوین و اتریوم را مورد بحث قرار می‌دهد. این اهمیت تمرکززدایی در ارزش پیشنهادی پلتفرم های مبتنی بر بلاک چین را برجسته می‌کند. تکنیک‌های اندازه‌گیری: این کار بر تکنیک‌های اندازه‌گیری جدید، از جمله شبکه فالکون و روش‌های اندازه‌گیری اینترنتی تثبیت‌شده، برای به دست آوردن اطلاعات در مورد لایه کاربردی متکی است. ظرفیت شبکه: مشاهدات نشان می‌دهد که بیت‌کوین در مقایسه با اتریوم دارای ظرفیت شبکه بالاتری است. با این حال، اشاره می‌کند که گره‌های بیت‌کوین خوشه‌تر هستند، که نشان‌دهنده تمرکز بالاتر در مراکز داده است. فرآیندهای استخراج: هر دو بیت‌کوین و اتریوم فرآیندهای استخراج نسبتاً متمرکز را نشان می‌دهند. نتیجه‌گیری نشان می‌دهد که تحقیقات بیشتری برای تمرکززدایی بیشتر پروتکل‌های اجماع بدون مجوز لازم است. جوایز بلاک و واریانس: اتریوم در مقایسه با بیت‌کوین واریانس کمتری در جوایز بلاک دارد. نوسانات پاداش استخراج به عنوان یک معیار مهم اما اغلب نادیده گرفته می‌شود. رشد بیت‌کوین: بیت‌کوین رشد قابل توجهی را تجربه کرده است که امکان افزایش بالقوه اندازه بلوک را بدون به خطر انداختن تمرکززدایی در مقایسه با ایالت در سال 2016 فراهم می‌کند. استفاده از توان استخراج: اتریوم در مقایسه با بیت‌کوین از قدرت استخراج پایین تری برخوردار است که به فرکانس بلاک بالاتر آن نسبت داده می‌شود. توصیه‌ها: نتیجه‌گیری نشان می‌دهد که اتریوم می‌تواند از یک شبکه رله برای افزایش استفاده از توان ماینینگ بهره‌مند شود.

در ادامه و قبل از منابع و مراجع نویسندگان از افراد خاص تشکر می کنند و از منابع مالی که از تحقیق حمایت کرده اند، قدردانی می کنند.

قدردانی: نویسندگان از ویتالیک بوتترین و داوران ناشناس به خاطر بازخوردشان در مورد پیش نویس های قبلی تشکر می کنند. Ittay Eyal پشتیبانی از کمک هزینه تحصیلی Viterbi در مرکز مهندسی کامپیوتر در Technion را تایید می کند. منابع مالی و پشتیبانی برای این کار توسط منابع مختلفی از جمله، Facebook، NIST، ONR، NSF، AFOSR و IC3 ارائه شد. برنامه کمک هزینه پژوهشی فارغ التحصیلان بنیاد ملی علوم نیز از این کار تحت گرنت شماره DGE-1650441 حمایت کرد. نظرات، یافته ها و نتیجه گیری هایی که در اینجا بیان شده است، متعلق به نویسندگان است و لزوماً منعکس کننده دیدگاه های بنیاد ملی علوم نیست.

مراجع

**0. (Lecture Notes in Computer Science 10957) - Financial Cryptography and Data Security\_22nd International Conference, FC 2018, Nieuwpoort, Curaçao, February 26 – March 2**

1. 21.CO. Bitnodes. <https://bitnodes.21.co/>. Accessed June 2017
2. Apostolaki, M., Zohar, A., Vanbever, L.: Hijacking bitcoin: routing attacks on cryptocurrencies. arXiv preprint arXiv:1605.07524 (2016)
3. Benben Team. Benben. <http://benben.com.gh/>. Accessed Oct 2016
4. Biryukov, A., Khovratovich, D., Pustogarov, I.: Deanonymisation of clients in Bitcoin P2P network. In: Proceedings of the ACM Conference on Computer and Communications Security (CCS), pp. 15–29 (2014)
5. Bitcoin Community. Bitcoin source. <https://github.com/bitcoin/bitcoin>. Accessed June 2017
6. Bitcoin Community. Protocol rules. [https://en.bitcoin.it/wiki/Protocol rules](https://en.bitcoin.it/wiki/Protocol_rules). Accessed June 2017
7. Bitcoin Community. Protocol specification. [https://en.bitcoin.it/wiki/Protocol specification](https://en.bitcoin.it/wiki/Protocol_specification). Accessed June 2017
8. Blockchain Info Team. Blockchain Info. <https://blockchain.info/>. Accessed May 2017
9. BlockTrail Team. Blocktrail API. [https://www.blocktrail.com/api/docs#api data](https://www.blocktrail.com/api/docs#api_data). Accessed Apr 2017
10. Buterin, V.: Critical update re: DAO vulnerability. <https://blog.ethereum.org/2016/06/17/critical-update-re-dao-vulnerability/>. Accessed Apr 2017
11. Buterin, V.: Transaction spam attack: next steps. <https://blog.ethereum.org/2016/09/22/transaction-spam-attack-next-steps/>. Accessed Apr 2017
12. Cangialosi, F., Levin, D., Spring, N.: Ting: measuring and exploiting latencies between all tor nodes. In Proceedings of the ACM SIGCOMM Conference on Internet Measurement (IMC), pp. 289–302 (2015)
13. Chandrasekaran, B., et al.: Alidade: IP geolocation without active probing. Technical report, Duke University (2015)
14. Chun, B., et al.: PlanetLab: an overlay testbed for broad-coverage services. ACM SIGCOMM CCR 33(3), 3–12 (2003)
15. CoinMarketCap. Cryptocurrency market capitalizations. <https://coinmarketcap.com/>. Accessed May 2017
16. Corallo, M.: The Bitcoin relay network. BIP 152. <http://bitcoinrelaynetwork.org/>. Accessed May 2017
17. Corallo, M.: Compact block relay. BIP 152. <https://github.com/bitcoin/bips/blob/master/bip-0152.mediawiki>.

Accessed June 2017 Decentralization in Bitcoin and Ethereum Networks  
455

18. Corallo, M.: FIBRE: Fast internet Bitcoin relay engine.  
<https://github.com/bitcoinfibre/bitcoinfibre>. Accessed Apr 2017
19. Cpp-ethereum Authors: Ethereum C++ client.  
<https://github.com/ethereum/cpp-ethereum>. Accessed Apr 2017
20. Croman, K., et al.: On scaling decentralized blockchains (a position paper). In: Proceedings of the Workshop on Bitcoin and Blockchain Research (BITCOIN), Barbados (2016)
21. Cryptocompare Team. Cryptocurrency mining calculator.  
<https://www.cryptocompare.com/mining/calculator>. Accessed June 2017
22. Decker, C., Wattenhofer, R.: Information propagation in the Bitcoin network. In: Proceedings of the IEEE International Conference on Peer-to-Peer Computing, pp. 1–10, Trento, Italy (2013)
23. Dingledine, R., Mathewson, N., Syverson, P.: Tor: the second-generation onion router. In: Proceedings of the USENIX Security Symposium (2004)
24. Donet Donet, J.A., Pérez-Solà, C., Herrera-Joancomartí, J.: The Bitcoin P2P network. In: Böhm, R., Brenner, M., Moore, T., Smith, M. (eds.) FC 2014. LNCS, vol. 8438, pp. 87–102. Springer, Heidelberg (2014).  
[https://doi.org/10.1007/978-3-662-44774-1\\_7](https://doi.org/10.1007/978-3-662-44774-1_7)
25. Ethereum Community. devp2p forward compatibility requirements for homestead.  
<https://github.com/ethereum/EIPs/blob/master/EIPS/eip-8.md>.  
Accessed Apr 2017
26. Ethereum Community. DΞVp2p wire protocol.  
<https://github.com/ethereum/wiki/wiki/%C3%90%CE%9EVp2p-Wire-Protocol>. Accessed Apr 2017
27. Ethereum Community. Ethereum wire protocol.  
<https://github.com/ethereum/wiki/wiki/Ethereum-Wire-Protocol>.  
Accessed Apr 2017
28. Ethereum Community. A next generation smart contract and decentralized application platform.  
<https://github.com/ethereum/wiki/wiki/White-Paper>. Accessed Apr 2017

29. Ethereum Community. RLPx: Cryptographic network & transport protocol. <https://github.com/ethereum/devp2p/blob/master/rlpx.md>. Accessed Apr 2017
30. Ethereum Community. RLPx encryption. <https://github.com/ethereum/goethereum/wiki/RLPx-Encryption>. Accessed Apr 2017
31. EthereumJ. The Ethereum nodes explorer. <https://www.ethernodes.org/>. Accessed June 2017
32. Etherscan Team. Etherscan: The Ethereum block explorer. <https://etherscan.io/>. Accessed June 2017
33. Ethstats Team. Ethstats. <https://ethstats.net/>. Accessed June 2017
34. Eyal, I., Gencer, A.E., Sirer, E.G., van Renesse, R.: Bitcoin-NG: a scalable blockchain protocol. In: Proceedings of the USENIX Symposium on Networked Systems Design and Implementation (NSDI), pp. 45–59, Santa Clara, CA, USA (2016)
35. Eyal, I., Sirer, E.G.: Majority is not enough: Bitcoin mining is vulnerable. In Proceedings of the International Financial Cryptography and Data Security Conference, Barbados (2014)
36. Feld, S., Schönfeld, M., Werner, M.: Analyzing the deployment of Bitcoin’s P2P network under an AS-level perspective. In: Proceedings of the International Workshop on Secure Peer-to-Peer Intelligent Networks and Systems, vol. 32, pp. 1121–1126 (2014)
37. Francis, P., et al.: IDmaps: a global internet host distance estimation service. *IEEE/ACM Trans. Netw. (TON)* 9, 525–540 (2001) 456 A. E. Gencer et al.
38. Garay, J., Kiayias, A., Leonardos, N.: The Bitcoin backbone protocol: analysis and applications. In: Oswald, E., Fischlin, M. (eds.) EUROCRYPT 2015. LNCS, vol. 9057, pp. 281–310. Springer, Heidelberg (2015). [https://doi.org/10.1007/978-3-662-46803-6\\_10](https://doi.org/10.1007/978-3-662-46803-6_10)
39. Gencer, A.E., van Renesse, R., Sirer, E.G.: Short paper: service-oriented sharding for blockchains. In: Kiayias, A. (ed.) FC 2017. LNCS, vol. 10322, pp. 393–401. Springer, Cham (2017). [https://doi.org/10.1007/978-3-319-70972-7\\_22](https://doi.org/10.1007/978-3-319-70972-7_22)
40. Gervais, A., Karame, G.O., Capkun, V., Capkun, S.: Is Bitcoin a decentralized currency? In: Proceedings of the IEEE Symposium on Security and Privacy, vol. 3, no. 12, pp. 54–60 (2014)
41. Gervais, A., Karame, G.O., Wüst, K., Glykantzis, V., Ritzdorf, H., Capkun, S.: On the security and performance of proof of work

- blockchains. In: Proceedings of the ACM Conference on Computer and Communications Security (CCS), pp. 3–16, Vienna, Austria (2016)
42. Go-ethereum Authors: Official Go implementation of the Ethereum protocol. <https://github.com/ethereum/go-ethereum>. Accessed Apr 2017
43. Guha, S., Murty, R., Sirer, E.G.: Sextant: a unified framework for node and event localization in sensor networks. In: Proceedings of the ACM International Symposium on Mobile Ad Hoc Networking and Computing, pp. 205–216. ACM (2005)
44. Hearn, M., Corallo, M.: Connection bloom filtering. BIP 37. <https://github.com/bitcoin/bips/blob/master/bip-0037.mediawiki>. Accessed Sept 2017
45. Heilman, E., Kendler, A., Zohar, A., Goldberg, S.: Eclipse attacks on Bitcoin's peer-to-peer network. In: Proceedings of the USENIX Security Symposium, pp. 129–144, Washington, D.C., USA (2015)
46. IP Info Team. IP Info. <http://ipinfo.io/>. Accessed Apr 2017
47. jackwinters. Ethpool & Ethermine voting on the soft fork. <https://forum.daohub.org/t/ethpool-ethermine-voting-on-the-soft-fork/5364>. Accessed Apr 2017
48. Jameson, H.: Hard fork no. 4: Spurious Dragon. <https://blog.ethereum.org/2016/11/18/hard-fork-no-4-spurious-dragon/>. Accessed Apr 2017
49. Koshy, P., Koshy, D., McDaniel, P.: An analysis of anonymity in Bitcoin using P2P network traffic. In: Christin, N., Safavi-Naini, R. (eds.) FC 2014. LNCS, vol. 8437, pp. 469–485. Springer, Heidelberg (2014). [https://doi.org/10.1007/978-3-662-45472-5\\_30](https://doi.org/10.1007/978-3-662-45472-5_30)
50. Kwon, A., Lazar, D., Devadas, S., Ford, B.: Riffle: an efficient communication system with strong anonymity. In: Proceedings of the Privacy Enhancing Technologies Symposium (PETS) (2016)
51. Loibl, A.: Namecoin. [namecoin.info](http://namecoin.info) (2014)
52. Lumezanu, C., Baden, R., Spring, N., Bhattacharjee, B.: Triangle inequality variations in the internet. In: Proceedings of the ACM SIGCOMM Conference on Internet Measurement (IMC), pp. 177–183 (2009)
53. Malkhi, D., Reiter, M.: Byzantine quorum systems. *J. Distrib. Comput.* 11(4), 203–213 (1998)
54. Maymounkov, P., Mazières, D.: Kademlia: a peer-to-peer information system based on the XOR metric. In: Druschel, P., Kaashoek, F., Rowstron, A. (eds.) IPTPS 2002. LNCS, vol. 2429, pp. 53–65. Springer, Heidelberg (2002). [https://doi.org/10.1007/3-540-45748-8\\_5](https://doi.org/10.1007/3-540-45748-8_5)
55. McCorry, P., Shahandashti, S.F., Hao, F.: A

smart contract for boardroom voting with maximum voter privacy. In: Kiayias, A. (ed.) FC 2017. LNCS, vol. 10322, pp. 357–375. Springer, Cham (2017). [https://doi.org/10.1007/978-3-319-70972-7\\_20](https://doi.org/10.1007/978-3-319-70972-7_20) 56. Miller, A., et al.: Discovering Bitcoin’s public topology and influential nodes (2015) Decentralization in Bitcoin and Ethereum Networks 457 57. Nakamoto, S.: Bitcoin: a peer-to-peer electronic cash system (2008) 58. Nayak, K., Kumar, S., Miller, A., Shi, E.: Stubborn mining: generalizing selfish mining and combining with an eclipse attack. IACR Cryptology ePrint Archive 2015, 796 (2015) 59. Pappalardo, G., Di Matteo, T., Caldarelli, G., Aste, T.: Blockchain inefficiency in the Bitcoin peers network. arXiv preprint arXiv:1704.01414 (2017) 60. Parity Authors: Ethereum Rust client. <https://github.com/paritytech/parity>. Accessed Apr 2017 61. Pyethapp Authors: Python based client implementing the Ethereum protocol. <https://github.com/ethereum/pyethapp/>. Accessed Apr 2017 62. Reyzin, L., Meshkov, D., Chepurnoy, A., Ivanov, S.: Improving authenticated dynamic dictionaries, with applications to cryptocurrencies. In: Kiayias, A. (ed.) FC 2017. LNCS, vol. 10322, pp. 376–392. Springer, Cham (2017). [https://doi.org/10.1007/978-3-319-70972-7\\_21](https://doi.org/10.1007/978-3-319-70972-7_21) 63. Sinnott, R.W.: Virtues of the haversine. *Sky and Telescope* (1984) 64. Sompolinsky, Y., Zohar, A.: Secure high-rate transaction processing in Bitcoin. In: Böhme, R., Okamoto, T. (eds.) FC 2015. LNCS, vol. 8975, pp. 507–527. Springer, Heidelberg (2015). [https://doi.org/10.1007/978-3-662-47854-7\\_32](https://doi.org/10.1007/978-3-662-47854-7_32) 65. Satoshi Team: Satoshi info. <http://satoshi.info/>. Accessed May 2017 66. Swende, M.: Announcement of imminent hard fork for EIP150 gas cost changes. <https://blog.ethereum.org/2016/10/13/announcement-imminent-hard-forkeip150-gas-cost-changes/>. Accessed Apr 2017 67. Wang, G., Zhang, B., Ng, T.: Towards network triangle inequality violation aware distributed systems. In: Proceedings of the ACM SIGCOMM Conference on Internet Measurement (IMC), pp. 175–188. ACM (2007) 68. Wang, L., Liu, Y.: Exploring miner evolution in Bitcoin network. In: Mirkovic, J., Liu, Y. (eds.) PAM 2015. LNCS, vol. 8995, pp. 290–302. Springer, Cham (2015). [https://doi.org/10.1007/978-3-319-15509-8\\_22](https://doi.org/10.1007/978-3-319-15509-8_22) 69. Wang, Y., Burgener, D., Flores, M., Kuzmanovic, A., Huang, C.: Towards streetlevel client-independent IP geolocation. In: Proceedings of the USENIX Symposium on Networked Systems Design and Implementation (NSDI), pp. 365–379. USENIX Association (2011) 70. Wood, G.: Ethereum: a

**secure decentralised generalised transaction ledger. Ethereum Project  
Yellow Paper (2014)**